8-1 近畿・中国・四国地方とその周辺の地震活動(2010年5月~2010年10月) Seismic Activity in and around the Kinki, Chugoku and Shikoku Districts (May 2010 - October 2010)

> 気象庁 大阪管区気象台 Osaka District Meteorological Observatory, JMA

今期間,近畿・中国・四国地方とその周辺で M4.0 以上の地震は 9 回, M5.0 以上の地震は 2010 年 7 月 21 日に奈良県で発生した M5.1 の地震と 2010 年 8 月 27 日に岐阜県飛騨地方で発生した M5.2 の地震の 2 回であった.

2010 年 5 月 \sim 10 月の M4.0 以上の地震の震央分布を第 1 図(a)及び(b)に示す. 主な地震活動は以下のとおりである.

(1) 奈良県の地震 (M5.1, 最大震度 4, 第2図)

2010年7月21日06時19分に奈良県の深さ58kmでM5.1の地震(最大震度4)が発生した. 発震機構は北西 - 南東方向に圧力軸を持つ型で、沈み込むフィリピン海プレート内部で発生した地震であった.

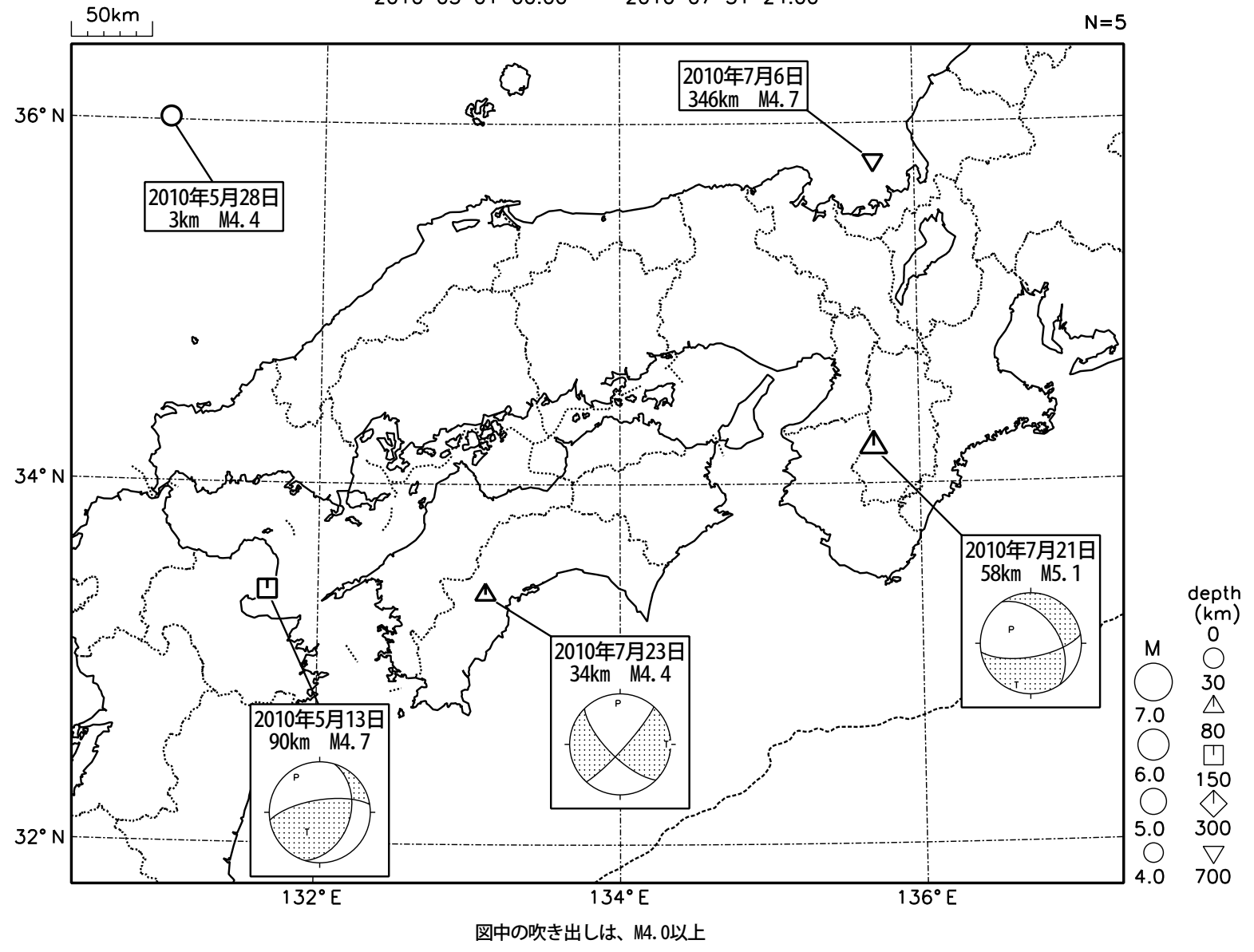
(2) 高知県西部の地震 (M4.4, 最大震度 3, 第 3 図)

2010年7月23日14時25分に高知県西部の深さ34kmでM4.4の地震(最大震度3)が発生した. 発震機構は南北方向に圧力軸を持つ横ずれ断層型で、沈み込むフィリピン海プレート内部で発生した地震であった.

(3) 土佐湾の地震 (M4.5, 最大震度 4, 第 4 図)

2010年10月6日13時51分に土佐湾の深さ7kmでM4.5の地震(最大震度4)が発生した. 発震機構は東北東-西南西方向に圧力軸を持つ逆断層型で、地殻内で発生した地震であった.

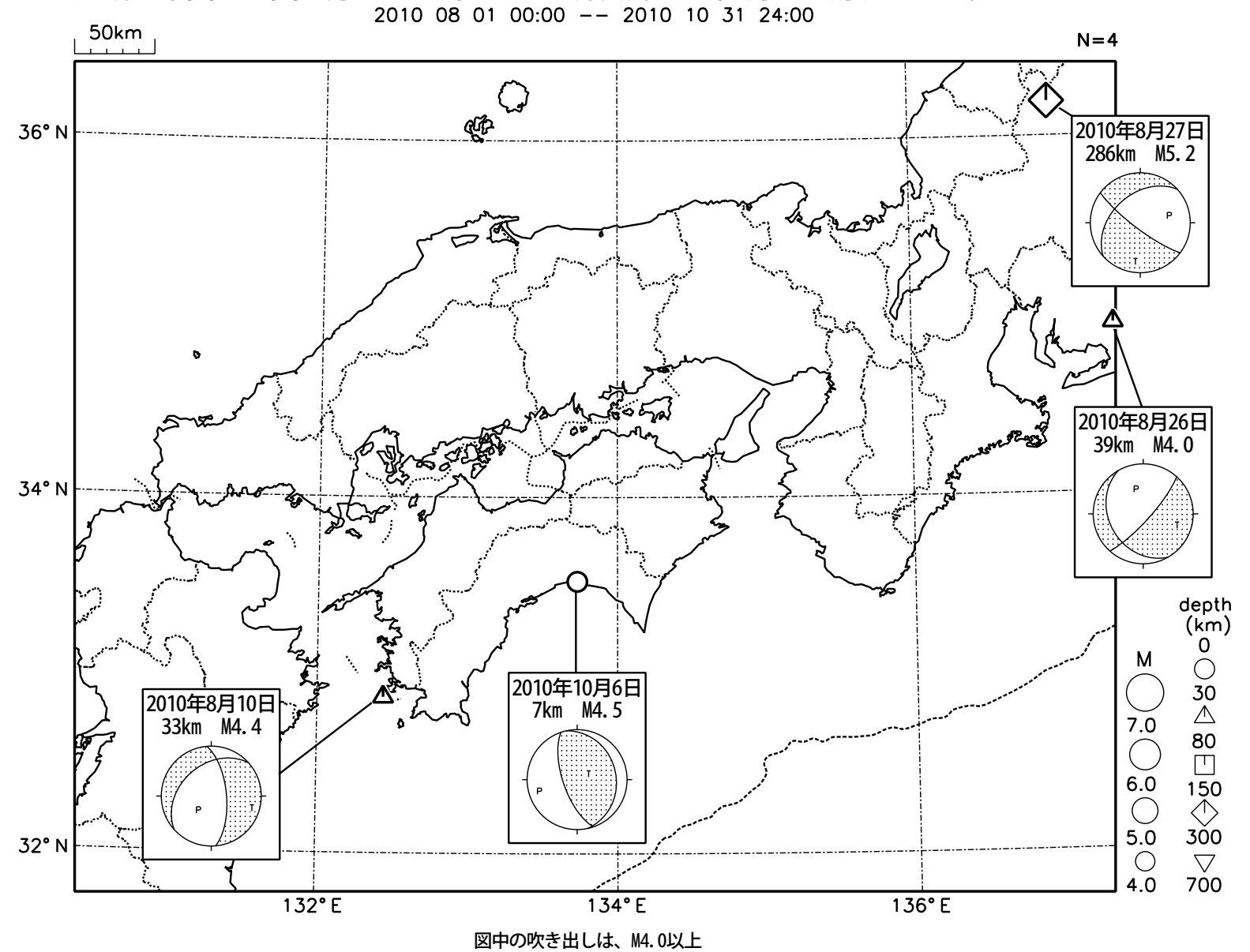
近畿・中国・四国地方とその周辺の地震活動(2010年5月~7月、M≥4.0) 2010 05 01 00:00 -- 2010 07 31 24:00



第1図 (a) 近畿・中国・四国地方とその周辺の地震活動(2010年5月~7月, $M \ge 4.0$,深さ ≤ 700 km)

Fig. 1(a) Seismic activity in and around the Kinki, Chugoku and Shikoku districts (May – July 2010, M ≥ 4.0, depth ≤ 700 km)

近畿・中国・四国地方とその周辺の地震活動(2010年8月~10月、M≥4.0)

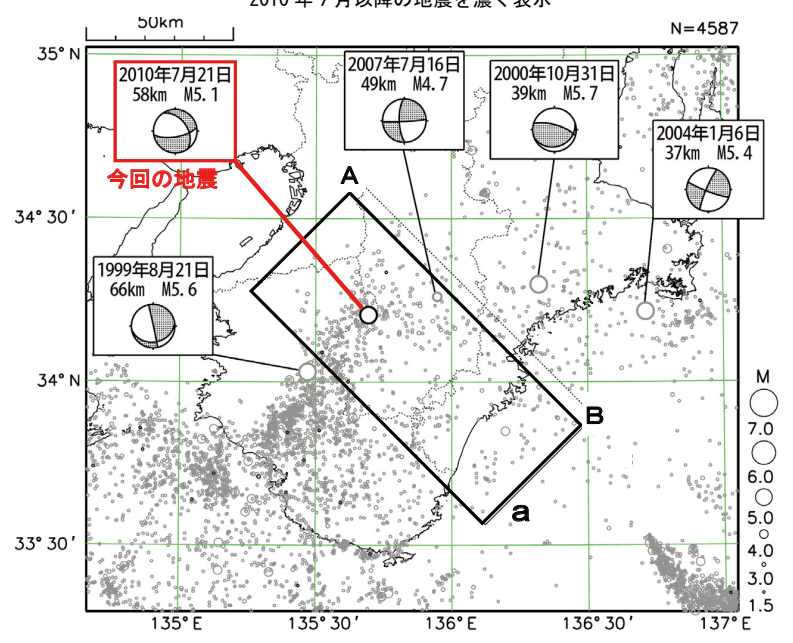


第1図 (b) つづき (2010年8月~10月, M \geq 4.0, 深さ \leq 700km) Fig. 1(b) Continued (August – October 2010, M \geq 4.0, depth \leq 700 km)

7月21日 奈良県の地震

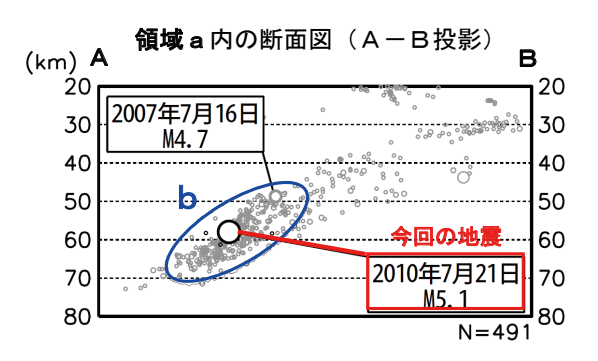
フィリピン海プレート内部の地震、M5.1、最大震度4

震央分布図(1997年10月1日~2010年7月31日、 深さ 20~80km、M≥1.5) 2010年7月以降の地震を濃く表示



2010年7月21日06時19分に奈 良県の深さ 58km で M5.1 の地震(最 大震度4)が発生した。この地震の 発震機構は北西-南東方向に圧力 軸を持つ型で、フィリピン海プレー ト内部で発生した地震である。

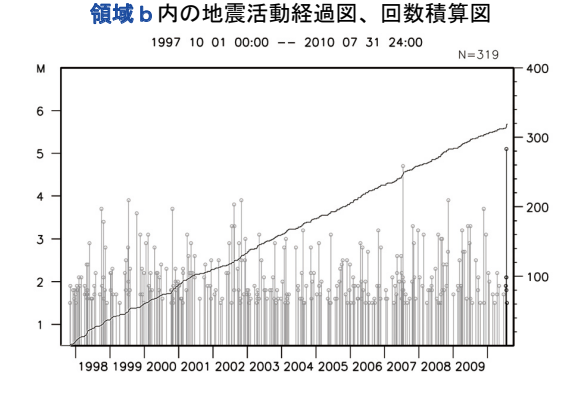
1997 年 10 月以降の活動をみる と、今回の地震の震源付近(領域b) では、M3.0 以上の地震が年に2回 程度の割合で発生している。M4.0 以上の地震では、2007年7月16日 に M4.7 の地震(最大震度3) が発 生している。

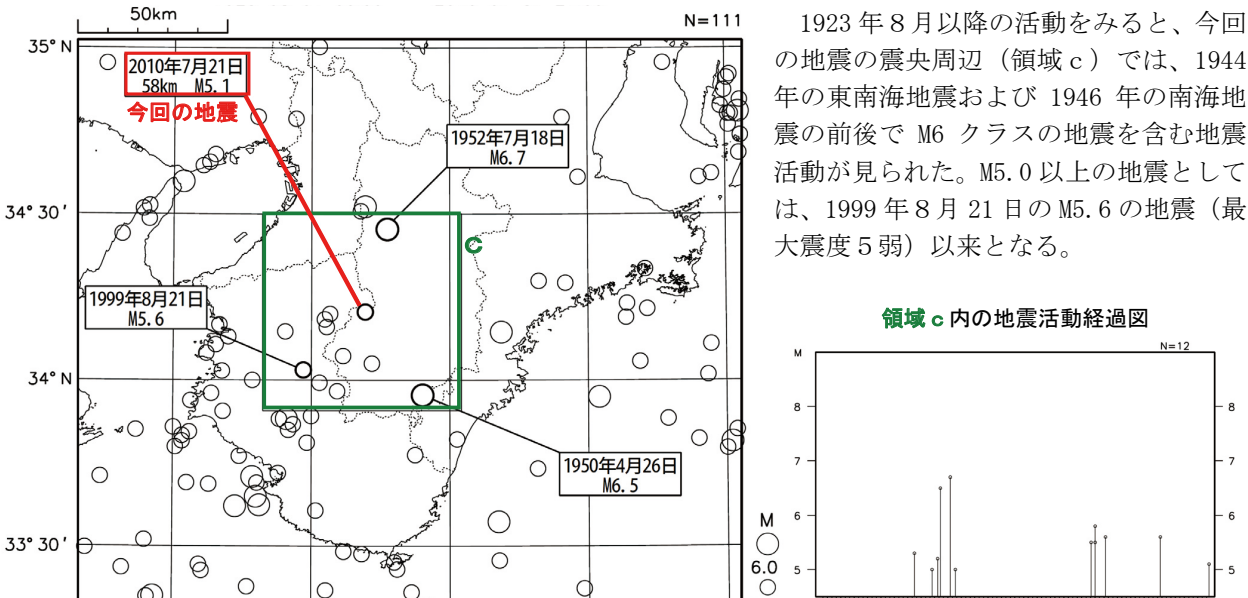


震央分布図(1923年8月1日~2010年7月31日、 深さ0~100km、M≥5.0)

135° E

135° 30





第2図 2010年7月21日 奈良県の地震

1.36° F

の地震の震央周辺(領域 c)では、1944 年の東南海地震および 1946 年の南海地 震の前後で M6 クラスの地震を含む地震 活動が見られた。M5.0以上の地震として は、1999年8月21日のM5.6の地震(最 大震度5弱)以来となる。

1940 1950

1960

Fig. 2 The earthquake in Nara Prefecture on July 21, 2010.

1.36° 30′

5.0

137° E

7月23日 高知県西部の地震

フィリピン海プレート内部の地震、横ずれ断層型、M4.4、最大震度3

震央分布図(1997年10月1日~2010年8月3日、 深さ0~90km、M≥2.0)

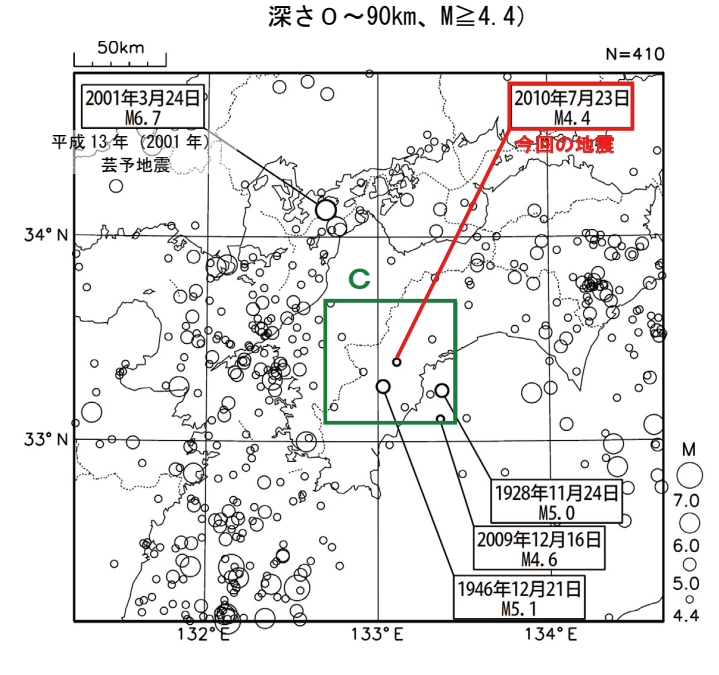
2010年7月以降の地震を濃く表示 50km N = 46322001年3月24日 2000年7月26日 46km M6. 7 8km M4.1 平成 13 年(2001 年 芸予地震 2010年8月3日 31km M3.9 1998年11月10日 39km M4.0 В 3.3° N 2009年12月16日 31km M4.6 6.0 5.0 2010年7月23日 34km M4.4 0 4.0 3.0 の地 2.0

2010年7月23日14時25分に高知県西部の深さ34kmでM4.4の地震(最大震度3)が発生した。発震機構は南北方向に圧力軸を持つ横ずれ断層型で、フィリピン海プレート内部で発生した地震である。また、この地震の南南東30kmで8月3日にM3.9の地震が発生した。

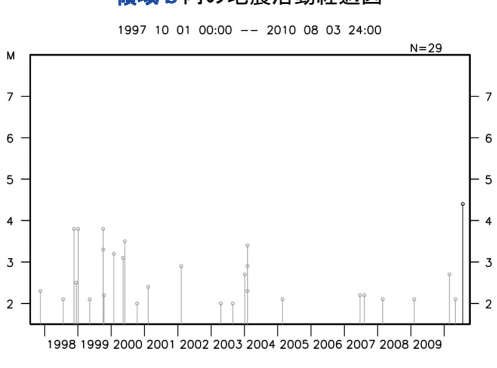
1997年10月以降の活動を見ると、今回の地震の震央付近(領域 b)では、M4.0以上の地震は発生していなかった。なお、領域 b の南側では、2009年12月16日に M4.6の地震(最大震度 4)が発生している。

(km) A 領域 a 内の断面図(A - B 投影) B 0 20 40 40 2009年12月16日 M4.6 2010年8月3日 M3.9 2001年3月24日 M6.7 2010年7月23日 M4.4 80 平成 13 年(2001 年) 芸予地震 4 日 の 4

震央分布図(1923年8月1日~2010年8月3日、

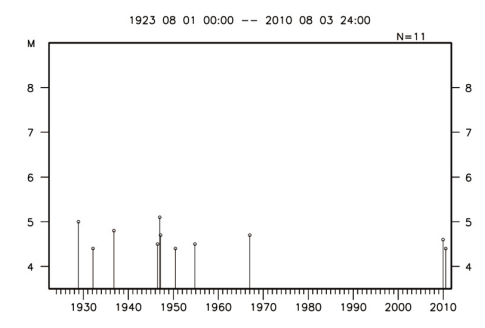


領域 b 内の地震活動経過図



1923 年 8 月以降の活動を見ると、今回の地震の震央周辺(領域 c)では、 地震活動は低調である。

領域c内の地震活動経過図



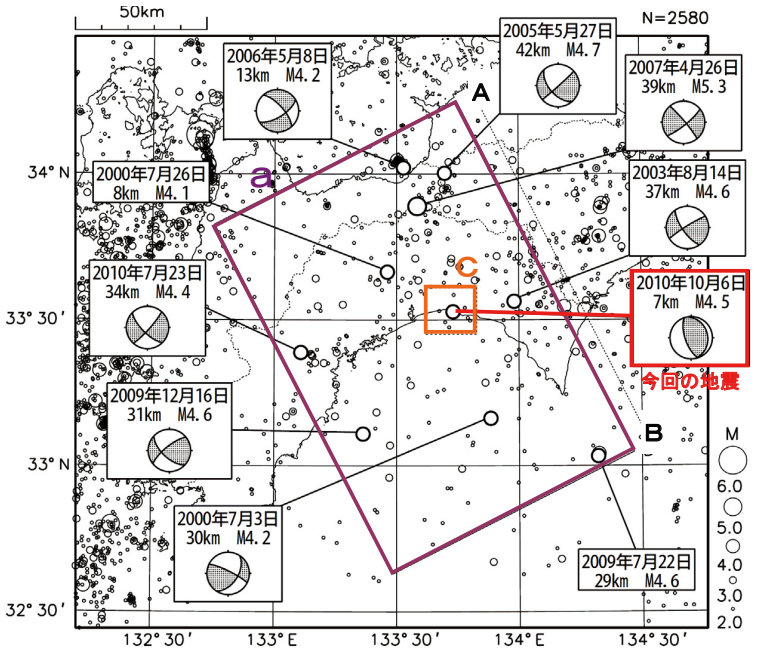
第3図 2010年7月23日 高知県西部の地震

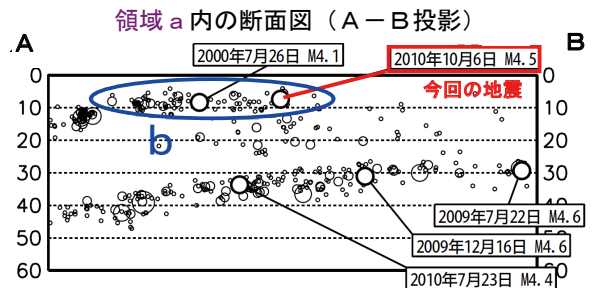
Fig. 3 The earthquake in the western part of Kochi Prefecture on July 23, 2010.

10月6日 土佐湾の地震

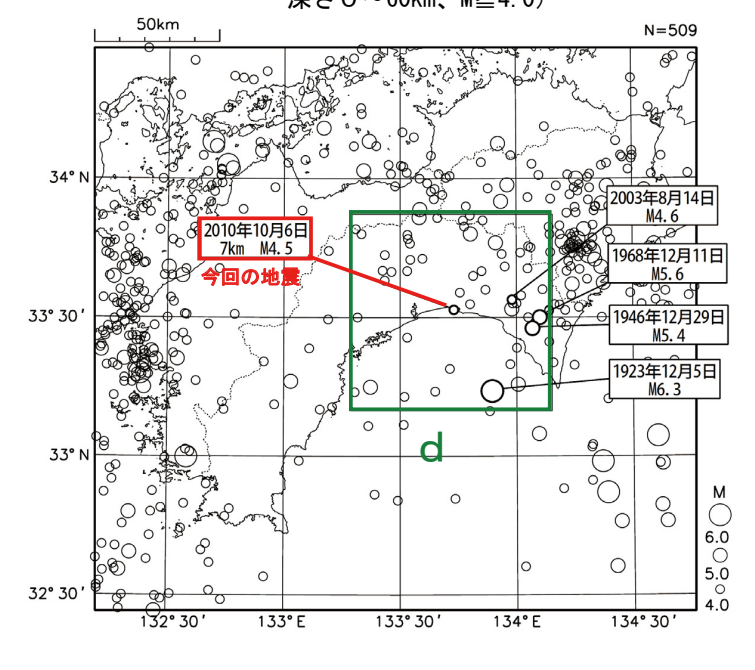
地殼内の地震、逆断層型、M4.5、最大震度4

震央分布図 (1997 年 10 月 1 日~2010 年 10 月 31 日、 深さ O~60km、M≥2.0)





震央分布図(1923年8月1日~2010年10月6日、 深さ0~60km、M≧4.0)

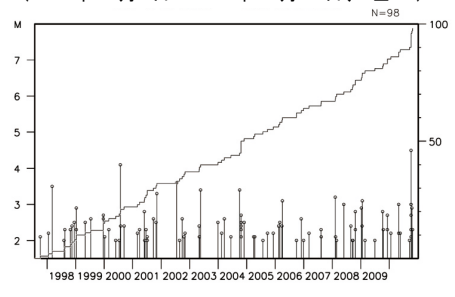


2010年10月6日13時51分に土佐湾の深さ7kmで M4.5の地震(最大震度4)が発生した。発震機構は東北東一西南西方向に圧力軸を持つ逆断層型で、地殻内で発生した地震である。

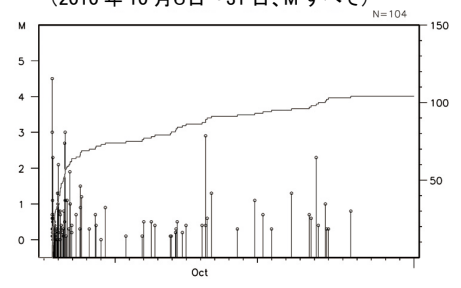
余震活動は、消長を繰り返しながら 次第に減衰している。

1997年10月以降の活動を見ると、今回の地震の震源付近(領域 b) で M4.0以上の地震が発生したのは、2000年7月26日の M4.1 の地震以来であった。

領域 b 内の地震活動経過図と回数積算図 (1997年10月1日~2010年10月31日、M≥2.0)

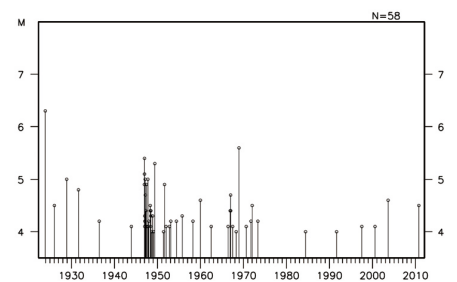


領域 c 内の地震活動経過図と回数積算図 (2010年10月6日~31日、M すべて)



1923 年8月以降の活動を見ると、 今回の地震の震央付近(領域 d)では、 最近30年間で、M4.0前後の地震が数 年に1回程度発生している。

領域 d 内の地震活動経過図 (1923 年 8 月 1 日~2010 年 10 月 31 日、M≧4.0)



第4図 2010年10月6日 土佐湾の地震

Fig. 4 The earthquake in Tosa Bay on October 6, 2010.